

# آنالیز خطای یک سیستم ناوبری اینرسی مبتنی بر شتاب سنج و بدون استفاده از ژیروسکوپ

وحید قاسم زاده<sup>۱</sup>، جعفر حیرانی نوبری<sup>۲</sup>

<sup>۱</sup> فارغ التحصیل کارشناسی ارشد مهندسی برق، گروه کنترل، دانشگاه فسا، ghvahid61@yahoo.com

<sup>۲</sup> استادیار، دانشکده مهندسی برق، گروه کنترل، دانشگاه صنعتی خواجه نصیرالدین طوسی، nobari@eetd.kntu.ac.ir

(تاریخ دریافت مقاله ۱۳۸۹/۱۱/۱۰، تاریخ پذیرش مقاله ۱۳۹۰/۸/۱۴)

**چکیده:** سیستمهای ناوبری اینرسی رایج، اغلب از شتاب سنجها جهت اندازه گیری شتابهای خطی و از ژیروسکوپها جهت اندازه گیری سرعتهای زاویه‌ای استفاده می‌کنند. ژیروسکوپها دارای معایبی نظیر تکنیک ساخت پیچیده، قیمت بالا، حجم زیاد و ... هستند؛ با توجه به این عوامل، شتاب سنجها ارزان قیمت با اندازه های کوچکتر جایگزین ژیروسکوپها در بعضی از سیستمهای ناوبری اینرسی شده اند. در این مقاله، یک ساختار ۱۰ تابی از شتاب سنجها پیشنهاد می شود که این ساختار توانایی تعیین شتابهای خطی و سرعتهای زاویه‌ای وسیله را به طور کامل دارد. مزایای این روش نسبت به روش‌های پیشین، سادگی روابط، عدم نیاز به انتگرالگیری مستقیم از شتابهای زاویه‌ای وسیله می‌باشد. شتاب سنجها واقعی دارای خطاهایی نظیر بایاس شتاب سنجها و ناهم محوری حساسیت آنها هستند که تاثیر قابل ملاحظه ای در دقیق سیستمهای ناوبری دارند؛ بنابراین، این خطاهای تاثیر آنها در ناوبری، در مدل‌سازی و شبیه سازی در نظر گرفته شده است. نتایج حاصل از شبیه سازی و آنالیز خطای ناوبری نشان می دهد که این روش در ناوبریهای کوتاه مدت از دقیق مطلوبی برخوردار است.

**کلمات کلیدی:** ناوبری اینرسی، ژیروسکوپ، شتاب سنج، بایاس، ناهم محوری.

## Error Analyses of Inertial Navigation System Based on Only Accelerometers and Without Gyroscope

Vahid ghasemzadeh, Jafar Heyrani Nobari

**Abstract:** current inertial navigation systems usually use liner accelerometer and gyroscopes to sense linear accelerations and angular velocity, respectively. The gyroscopes have the disadvantage such as: complicated manufacture technique, high cost, and large volume and so on. Due to these factors the small accelerometers with low cost to replace the gyroscopes in some inertial navigation systems.

In this paper a ten-accelerometer configuration is proposed which can determine linear acceleration an angular velocity completely. The advantages of this method in comparison with previous works are the simplicity of the equations and elimination of direct integration of angular acceleration.

Actual accelerometers have errors such as bias and misalignment which have significant effect on precision of inertial navigation systems. So, these errors and their effect on navigation are considered in modelling and simulation. The obtained results of simulation show that this method has suitable precision in short time navigation systems.

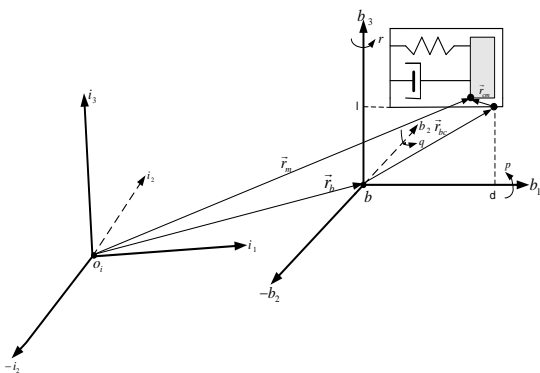
**Keywords:** Inertial navigation, gyroscope, accelerometer, bias, misalignment

سیستمهای ناوبری اینرسی است. اساس و پایه سیستمهای ناوبری اینرسی، قوانین نیوتون است و محاسبه شتاب وسیله با استفاده از این قوانین انجام می‌پذیرد. سیستمهای ناوبری اینرسی از لحاظ عملکرد به سیستمهای ناوبری

۱- مقدمه  
یکی از سیستمهای ناوبری که برای تعیین موقعیت و وضعیت وسایل متحرک به کار می‌رود و جایگاه مهمی در این نوع سیستمها دارد،

## ۲- عملکرد شتاب سنج در حالت کلی

شکل (۱)، یک دستگاه مختصات چسیبده به جسم (دستگاه بدنی) را نشان می‌دهد که نسبت به دستگاه مختصات اینرسی با سرعت زاویه‌ای  $\dot{\theta}_{ib}$  در حال چرخش است. در این شکل، یک شتاب سنج مکانیکی ساده که شامل فنر، سرعت‌گیر و جرم آزمون است در صفحه ۳b1b3 قرار گرفته و هدف محاسبه شتاب در نقطه b است.



شکل ۱: عملکرد شتاب سنج در حالت کلی

با توجه به شکل (۱)، رابطه (۱) برقرار است:

$${}^i\vec{r}_m = {}^i\vec{r}_b + {}^i\vec{r}_{bc} + {}^i\vec{r}_{cm} \Rightarrow {}^i\vec{r}_m = {}^i\vec{r}_b - {}^i\vec{r}_{bc} - {}^i\vec{r}_{cm} \quad (1)$$

هر کدام از بردارها در (۱) به این صورت تعریف می‌شوند؛

${}^i\vec{r}_m$ : بردار مکان جرم آزمون شتاب سنج، بیان شده در دستگاه اینرسی

${}^i\vec{r}_b$ : بردار مکان نقطه b بیان شده در دستگاه اینرسی

${}^i\vec{r}_{bc}$ : بردار مکان از نقطه b تا نقطه c (نقطه‌ای از بدنی)، بیان شده در دستگاه اینرسی

${}^i\vec{r}_{cm}$ : بردار مکان بدنی شتاب سنج و جرم آزمون، بیان شده در دستگاه اینرسی

با دو بار مشتق گیری از رابطه (۱)، رابطه (۲) حاصل می‌شود.

$${}^i\ddot{\vec{r}}_b = {}^i\ddot{\vec{r}}_m - {}^i\ddot{\vec{r}}_{bc} - {}^i\ddot{\vec{r}}_{cm} \quad (2)$$

${}^i\ddot{\vec{r}}_m$  در این رابطه یانگر شتاب جرم آزمون در دستگاه اینرسی می‌باشد. اثبات می‌شود که رابطه (۲) را می‌توان به صورت رابطه (۳) نوشت.

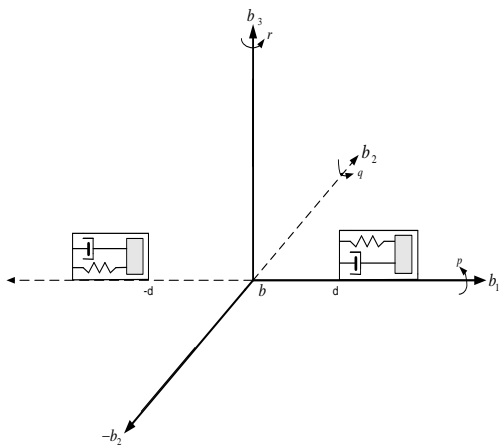
$${}^b\vec{f}_b = {}^b\vec{f}_m - {}^bC {}^i\ddot{\vec{r}}_{bc} - {}^bC {}^i\ddot{\vec{r}}_{cm} \quad (3)$$

در رابطه (۳)،  ${}^b\vec{f}_m$  یانگر شتاب جرم آزمون در دستگاه بدنی و  ${}^b\vec{f}_b$  یانگر شتاب نقطه موردنظر b در دستگاه بدنی و  ${}^bC$  ماتریس تبدیل از دستگاه اینرسی به بدنی است.  $\dot{\theta}_{ib}$  نیز سرعت زاویه‌ای دستگاه بدنی نسبت به دستگاه اینرسی بیان شده در دستگاه بدنی است. بعد از ساده‌سازی، رابطه (۳) به رابطه (۴) تبدیل می‌شود [۱].

(۴)

اینرسی با صفحه پایدار و بدون صفحه پایدار تقسیم می‌شوند. در سیستمهای ناوبری اینرسی با صفحه پایدار، سنسورهای اینرسی (شتاب-سنجها و ژیروسکوپها) بر روی یک جزء پایدار قرار گرفته و از حرکات دورانی وسیله‌جدا می‌شوند اما در سیستمهای ناوبری بدون صفحه پایدار سنسورهای اینرسی مستقیماً به وسیله متصل شده و شتابهای خطی و سرعتهای زاویه‌ای وسیله را در دستگاه مختصات چسیبده به وسیله (دستگاه بدنی) اندازه گیری می‌کنند [۱]. ژیروسکوپها، معمولاً دارای تکنیک ساخت پیچیده، حجم زیاد، و قیمت بالا هستند این عوامل باعث شده است که تمایل به سمت سیستمهای ناوبری بدون ژیروسکوپ DiNapoli افزایش یابد. برای اولین بار در سال ۱۹۶۵ فردی به نام Chen [۲] در سال ۱۹۶۷، شولر چند ساختار مختلف از شتاب سنجها معرفی نمود [۳]. در سال ۱۹۹۴، فردی به نام Chen یک ایده جدید در این زمینه ارایه داد؛ پیشنهاد او این بود که به صورت تئوری برای پیاده‌سازی این نوع سیستم، حداقل به ۶ شتاب سنج نیاز است. در طرح او، هر شتاب سنج در مرکز سطح‌های یک مکعب قرار می‌گرفت و با استفاده از این ساختار، شتابهای خطی و شتابهای زاویه‌ای وسیله با انتگرالگیری از شتابهای خطی زاویه‌ای، سرعتهای زاویه‌ای وسیله با انتگرالگیری از شتابهای خطی محاسبه می‌شوند [۴]. در سال ۲۰۰۳ مقاله‌ای در زمینه ناوبری بدون ژیروسکوپ ارایه شد که در آن با استفاده از ۹ عدد شتاب سنج، پارامترهای ناوبری وسیله به طور کامل مشخص می‌شد. مزیت این ساختار نسبت به ساختار Chen این بود که برای محاسبه سرعتهای زاویه‌ای نیازی به انتگرالگیری از شتابهای زاویه‌ای وسیله نبود [۵]. کالیراسیون سنسورهای شتاب سنج یکی از مهم‌ترین فاکتورها در استفاده کاربردی از شتاب سنجها می‌باشد که این موضوع در مرجع ششم بررسی شده است [۶]. در این مقاله، ابتدا در قسمت اول عملکرد شتاب سنج شرح داده می‌شود، سپس در ادامه ساختار ۶ تایی از شتاب سنجها به همراه روابط شتابهای خطی و سرعتهای زاویه‌ای وسیله نیست در نتیجه در ادامه قادر به تعیین علامت سرعتهای زاویه‌ای وسیله نیست در نتیجه در ادامه این ساختار با یک ساختار ۱۰ تایی از شتاب سنجها جایگزین می‌گردد که این ساختار و روابط حاکم بر آن، حرکت وسیله را به طور کامل بیان می‌کند. این ساختار از لحاظ عدم نیاز به انتگرالگیری برای سرعتهای زاویه‌ای و سادگی روابط نسبت به سایر روش‌هایی که قبل انجام شده‌اند دارای مزیت می‌باشد. بایاس و ناهممحوری محور حساسیت شتاب سنج که از جمله مهم‌ترین خطاهای موجود در شتاب سنج است در ادامه مقاله مدل‌سازی شده و تاثیر این خطاهای در ناوبری مورد بررسی قرار می‌گیرد. در پایان مقاله الگوریتم ناوبری در دستگاه مختصات اینرسی ارایه شده و بر اساس این الگوریتم آنالیز خطای ناوبری همراه با نتایج شبیه‌سازی شرح داده می‌شود.

فاصله یکسان  $d$  از نقطه  $b$  که شتاب آن مورد نظر است قرار گرفته‌اند.  
بردارهای مکان شتاب‌سنج‌ها در دستگاه بدنی عبارتند از:  
$${}^b\vec{r}_{m1} = [d, 0, 0]^T, \quad {}^b\vec{r}_{m2} = [-d, 0, 0]^T$$
  
چون  $l = 0$  آن‌گاه رابطه (۶) برای هر شتاب‌سنج، به روابط (۷) و (۸) تبدیل می‌شوند.



شکل ۲: دو شتاب‌سنج واقع بر محور  $b_1$  در دستگاه مختصات بدنی

روابط مربوط به شتاب‌سنج:  $m_1$ :

$$\begin{cases} (f_b)_{b1} - (f_m)_{b1} = d(q^2 + r^2) \\ (f_b)_{b2} - (f_m)_{b2} = -dqp - dr \\ (f_b)_{b3} - (f_m)_{b3} = -dpr + dq \end{cases} \quad (7)$$

روابط مربوط به شتاب‌سنج:  $m_2$ :

$$\begin{cases} (f_b)_{b1} - (f_m)_{b1} = -d(q^2 + r^2) \\ (f_b)_{b2} - (f_m)_{b2} = +dqp + dr \\ (f_b)_{b3} - (f_m)_{b3} = +dpr - dq \end{cases} \quad (8)$$

از روابط (۷) و (۸) نکات زیر نتیجه می‌شوند.

- ۱ اگر معادلات اول از دسته روابط اخیر با هم جمع شوند، شتاب نقطه  $b$  در راستای محور  $b_1$ ، میانگین خروجی‌های شتاب-

سنج  $m_1$  و  $m_2$  می‌شود.

$$(f_b)_{b1} = \frac{(f_m1)_{b1} + (f_m2)_{b1}}{2} \quad (9)$$

- ۲ اگر تفاضل معادلات اول از دسته روابط اخیر محاسبه شود رابطه (۱۰) حاصل می‌شود.

$$(f_{m2})_{b1} - (f_{m1})_{b1} = 2d(q^2 + r^2) \quad (10)$$

رابطه (۱۰) بیان می‌کند که تفاضل سیگال‌های خروجی دو شتاب-سنج، به سرعت‌های زاویه‌ای  $q, r$  وابسته است. این موضوع از لحاظ فیزیکی نیز منطقی است چراکه هر دو شتاب‌سنج در راستای  $b_1$  هستند در نتیجه به یک میزان سرعت زاویه‌ای  $p$  را حس می‌کنند پس تفاوت اندازه گیری آنها در سرعت‌های زاویه‌ای وسیله در دو راستای دیگر یعنی  $b_2$  و  $b_3$  است. فرضاً دو شتاب‌سنج دیگر  $m_3$  و  $m_4$  در راستای محور  $b_2$  و  $b_3$  هستند.

بردارهای  ${}^b\vec{f}_b$  و  ${}^b\vec{r}_{cm}$  و  ${}^b\vec{r}_{bc}$  و  ${}^b\vec{\omega}_{ib}$  و  ${}^b\vec{f}_m$  با توجه به شکل ۱، به صورت  ${}^b\vec{f}_m = [(f_m)_{b1}, (f_m)_{b2}, (f_m)_{b3}]^T$  و  ${}^b\vec{\omega}_{ib} = [p, q, r]^T$  و  ${}^b\vec{f}_b = [(f_b)_{b1}, (f_b)_{b2}, (f_b)_{b3}]^T$  و  ${}^b\vec{r}_{cm} = [x, 0, 0]^T$  و  ${}^b\vec{r}_{bc} = [l, 0, d]^T$  معرف جایجایی جرم آزمون، نسبت به بدن شتاب-سنج است که با توجه به مکانیزم شتاب سنج به کار رفته در شکل ۱، تنها شتاب در راستای محور اول دستگاه بدنی را اندازه گیری می‌کند. پس از انجام عملیات ریاضی و ساده‌سازی، رابطه (۴) به رابطه (۵) تبدیل می‌شود.

$$\begin{aligned} {}^b\vec{f}_b - {}^b\vec{f}_m &= \begin{bmatrix} (f_b)_{b1} - (f_m)_{b1} \\ (f_b)_{b2} - (f_m)_{b2} \\ (f_b)_{b3} - (f_m)_{b3} \end{bmatrix} \\ &= \begin{bmatrix} d(q^2 + r^2) - plr - l\dot{q} - x(p^2 + r^2) - \ddot{x} \\ -q(lr + dp) - d\dot{r} + l\dot{p} - xpq - 2rx \\ l(p^2 + q^2) - dpr + d\dot{q} - xpr + 2q\dot{x} \end{bmatrix} \end{aligned} \quad (5)$$

در رابطه (۵)،  ${}^b\vec{f}_b$  و  ${}^b\vec{f}_m$  شتاب نقطه‌های  $b$  و  $m$  در دستگاه بدنی می‌باشند. این رابطه تقریباً پیچیده و طولانی است. می‌توان آن را به نحوی ساده کرد که  $\ddot{x}$  و مشتقات آن در مقایسه با سایر عبارتها قابل اغماض و صرف نظر کردن باشد؛ این کار با استفاده از ساختار جدیدی از شتاب سنج، تحت عنوان شتاب سنج تعادلی امکان‌پذیر است. عملکرد شتاب سنج تعادلی به این صورت است که وقتی جایجایی  $X$  رخ می‌دهد به وسیله یک گشتاور ساز، نیروی در خلاف جهت جایجایی به جرم آزمون شتاب سنج اعمال می‌گردد که باعث برگشتن فتر به سر جای اولش می‌شود در نتیجه جایجایی صفر خواهد بود. در ضمن، شتاب اندازه گیری شده، متناسب با جریان لازم برای اعمال گشتاور موردنظر است. این کارها توسط یک حلقه فیدبک کنترلی انجام می‌پذیرد [۱]. بنابراین در صورت استفاده از شتاب سنج تعادلی، رابطه (۶) حاصل می‌شود.

$$\begin{cases} (f_b)_{b1} - (f_m)_{b1} = d(q^2 + r^2) - plr - l\dot{q} \\ (f_b)_{b2} - (f_m)_{b2} = -q(lr + dp) - d\dot{r} + l\dot{p} \\ (f_b)_{b3} - (f_m)_{b3} = l(p^2 + q^2) - dpr + d\dot{q} \end{cases} \quad (6)$$

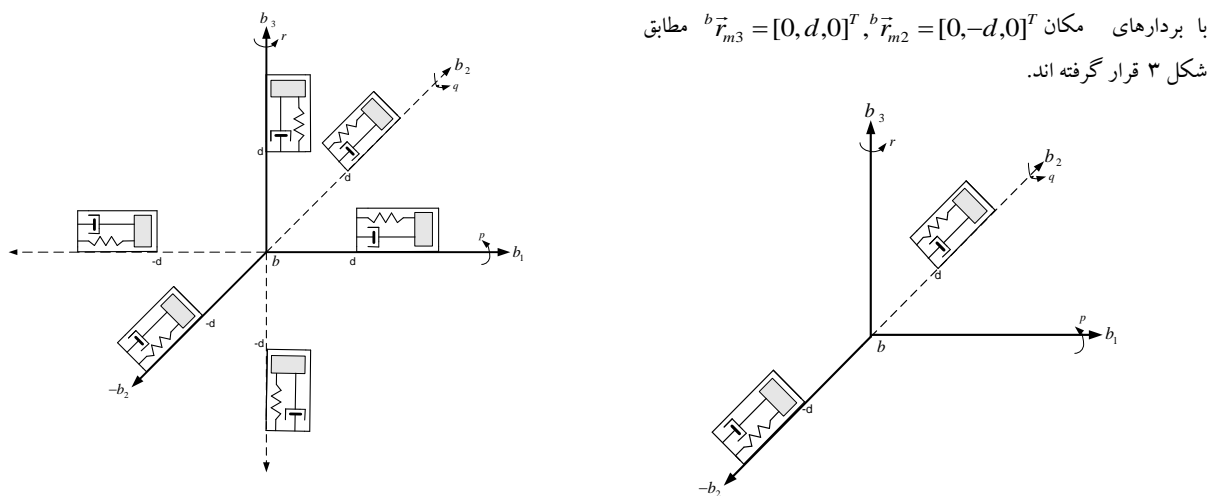
در رابطه (۶)،  $\dot{p}, \dot{q}, \dot{r}$  شتاب‌های زاویه‌ای جسم در دستگاه

بدنی،  $p, q, r$  سرعت‌های زاویه‌ای وسیله،  $(f_b)_{b1}, (f_b)_{b2}, (f_b)_{b3}$  مولفه‌های شتاب‌های خطی نقطه  $b$  در راستای محورهای دستگاه بدنی،  $(f_m)_{b1}, (f_m)_{b2}, (f_m)_{b3}$  مولفه‌های شتاب‌های خطی نقطه‌ای که شتاب سنج در آن‌جا قرار گرفته و  $[l, 0, d]^T$  مختصات نقطه‌ای است که شتاب سنج در آن‌جا قرار گرفته است.

### ۳- ساختار ۶ تایی از شتاب‌سنج‌ها

$$\begin{aligned} {}^b\vec{f}_b &= {}^b\vec{f}_m - {}^b(\vec{\omega}_{ib} \times (\vec{\omega}_{ib} \times \vec{r}_{bc})) - {}^b(\dot{\vec{\omega}}_{ib} \times \vec{r}_{bc}) \\ &\quad - {}^b(\vec{\omega}_{ib} \times (\vec{\omega}_{ib} \times \vec{r}_{cm})) - {}^b(\dot{\vec{\omega}}_{ib} \times \vec{r}_{cm}) - 2 {}^b(\vec{\omega}_{ib} \times \dot{\vec{r}}_{cm}) - {}^b\ddot{\vec{r}}_{cm} \end{aligned}$$

توجه به شکل ۲ دو شتاب سنج تعادلی  $m_2$  و  $m_1$  روی محور  $b_1$  با



شکل ۵: ساختار ۶ تایی از شتاب سنجها واقع در دستگاه مختصات بدنی

شتاب نقطه  $b$  در سه راستای محور دستگاه بدنی:

$$\left\{ \begin{array}{l} (f_b)_{b1} = \frac{(f_{m1})_{b1} + (f_{m2})_{b1}}{2} \\ (f_b)_{b2} = \frac{(f_{m3})_{b2} + (f_{m4})_{b2}}{2} \\ (f_b)_{b3} = \frac{(f_{m5})_{b3} + (f_{m6})_{b3}}{2} \end{array} \right. \quad (13)$$

سرعت‌های زاویه‌ای در دستگاه بدنی:

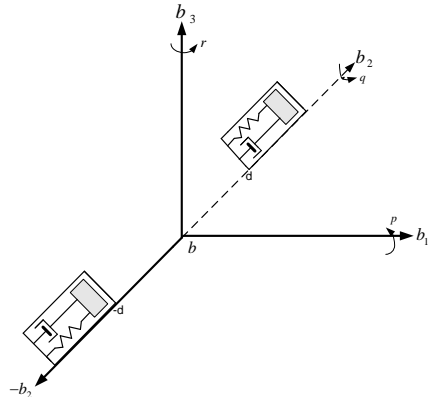
$$\begin{aligned} p &= \pm \sqrt{\frac{+(f_{m1})_{b1} - (f_{m2})_{b1} - (f_{m3})_{b2} + (f_{m4})_{b2} - (f_{m5})_{b3} + (f_{m6})_{b3}}{4d}} \\ q &= \pm \sqrt{\frac{-(f_{m1})_{b1} + (f_{m2})_{b1} + (f_{m3})_{b2} - (f_{m4})_{b2} - (f_{m5})_{b3} + (f_{m6})_{b3}}{4d}} \\ r &= \pm \sqrt{\frac{-(f_{m1})_{b1} + (f_{m2})_{b1} - (f_{m3})_{b2} + (f_{m4})_{b2} + (f_{m5})_{b3} - (f_{m6})_{b3}}{4d}} \end{aligned} \quad (14)$$

این روابط دارای این اشکال عمده است که برای  $p, q, r$  هم مقدار مثبت و هم مقدار منفی به دست می‌آید و چون سرعت‌های زاویه‌ای در هر لحظه باستی به طور دقیق محاسبه شوند پس این اشکال مربوط به علامت سرعت‌های زاویه‌ای، یک اشکال اساسی است. برای حل این مشکل، ۶ عدد شتاب سنج اضافی به ساختار ۶ تایی از شتاب سنجها اضافه می‌شود.

#### ۴- تعیین علامت سرعت‌های زاویه‌ای

برای تعیین علامت سرعت‌های زاویه‌ای ابتدا راه حلی برای تعیین علامت  $q$  پیشنهاد می‌شود. بدین منظور دو شتاب سنج اضافی  $m7$  و  $m8$  روی محورهای اول و سوم دستگاه بدنی مطابق شکل ۶ قرار گرفته‌اند. با توجه به شکل ۶ ملاحظه می‌شود که شتاب سنج  $m7$ ، شتاب نقطه  $b$  در راستای محور  $b3$  و شتاب سنج  $m8$  شتاب نقطه  $b$  در راستای محور  $b1$  را اندازه‌گیری می‌کند. مشابه با روابطی که قبل برای شتاب سنج‌های  $m1, \dots, m6$  به دست آورده شد، شتاب نقطه  $b$  در راستای

با بردارهای مکان مطابق  ${}^b\vec{r}_{m3} = [0, d, 0]^T$ ,  ${}^b\vec{r}_{m2} = [0, -d, 0]^T$   
شکل ۳ قرار گرفته‌اند.



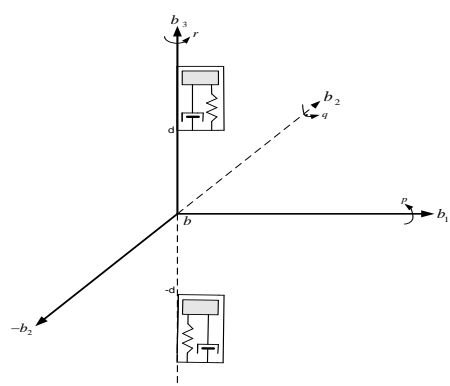
شکل ۳: دو شتاب سنج واقع بر محور  $b2$  در دستگاه مختصات بدنی

مطابق قسمت قبل و با توجه به روابط حاکم بر این دو شتاب سنج، رابطه (11) نتیجه می‌شود.

$$\begin{aligned} (f_b)_{b2} &= \frac{(f_{m3})_{b2} + (f_{m4})_{b2}}{2} \\ (f_{m3})_{b2} - (f_{m4})_{b2} &= 2d(p^2 + r^2) \end{aligned} \quad (11)$$

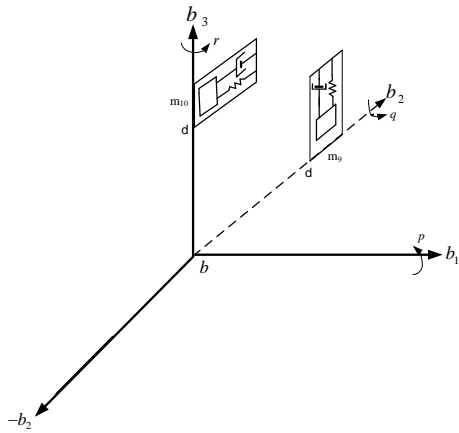
دو شتاب سنج  $m5$  و  $m6$  نیز مطابق شکل ۴ در راستای محور سوم دستگاه بدنی قرار گرفته‌اند. مشابه قسمت قبل با توجه به روابط حاکم بر این شتاب سنج‌ها، شتاب در راستای محور سوم و سرعت‌های زاویه‌ای  $p$  و  $q$ ، به کمک رابطه (12) قابل بیان است.

$$\begin{aligned} (f_b)_{b3} &= \frac{(f_{m5})_{b3} + (f_{m6})_{b3}}{2} \\ (f_{m5})_{b3} - (f_{m6})_{b3} &= 2d(p^2 + q^2) \end{aligned} \quad (12)$$



شکل ۴: دو شتاب سنج واقع بر محور  $b3$  در دستگاه مختصات بدنی

در شکل ۵، ساختار ۶ تایی از شتاب سنجها نشان داده شده است. روابط شتاب‌های خطی و سرعت‌های زاویه‌ای حاکم بر این ساختار نیز در روابط (13) و (14) بیان شده‌اند.

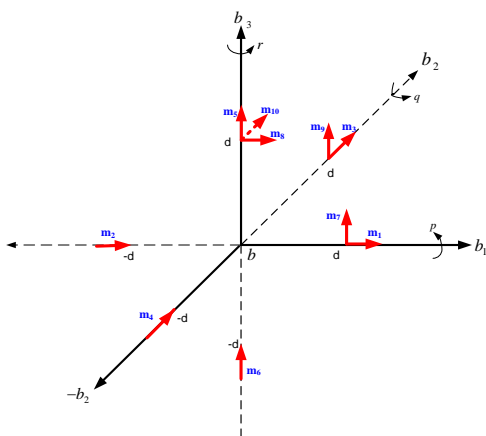


شکل ۷: دو شتاب سنج اضافی برای تعیین علامت  $p$

با انتگرالگیری از  $\dot{p}$ ، سرعت زاویه‌ای  $p$  در هر لحظه از لحظه مقدار و علامت مشخص می‌شود، البته مقدار  $p$  از رابطه (۱۴) و علامت آن از رابطه (۱۹) قابل محاسبه است.

$$\begin{aligned} \dot{p} = & \frac{(f_{m3})_{b2} + (f_{m4})_{b2} - (f_{m5})_{b3}}{4d} \\ & + \frac{-(f_{m6})_{b3} + 2(f_{m9})_{b3} - 2(f_{m10})_{b2}}{4d} \end{aligned} \quad (۱۹)$$

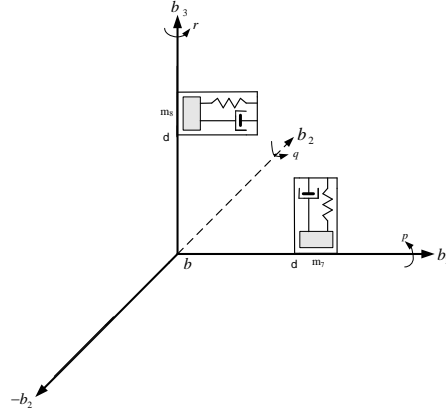
تعیین علامت  $r$  از رابطه (۱۵) قابل محاسبه است البته مقدار  $\dot{q}$  و  $p$  به طور دقیق از روابط مربوطه به دست آمده اند. مقدار عددی  $r$  نیز از رابطه (۱۴) به دست می‌آید در نتیجه مولفه سوم سرعت زاویه ای ( $r$ )، از لحظه علامت و مقدار به طور کامل مشخص خواهد شد. به این ترتیب یک ساختار جدید ۱۰ تایی از شتاب سنج‌ها طراحی شد که به طور کامل، حرکت وسیله را از لحظه حرکت خطی و حرکت دورانی، توصیف و مشخص می‌نماید و در نتیجه می‌توان به پیاده سازی ناوبری پرداخت. ساختار ۱۰ تایی از شتاب سنج‌ها در شکل (۸) نشان داده شده است و کلیه روابط حاکم بر این ساختار از رابطه (۲۰) قابل بیان است.



شکل ۸: ساختار ۱۰ تایی از شتاب سنج‌ها

محور  $b_1$  و  $b_3$  بر حسب خروجی شتاب سنج‌های  $m_7$  و  $m_8$  مطابق رابطه (۱۵) به دست می‌آید.

$$\begin{aligned} (f_b)_{b3} &= (f_{m7})_{b3} - dpr + dq \\ (f_b)_{b1} &= (f_{m8})_{b1} - dpr - dq \end{aligned} \quad (۱۵)$$



شکل ۶: دو شتاب سنج اضافی برای تعیین علامت  $q$

با استفاده از رابطه (۱۵) شتاب زاویه ای  $\dot{q}$  به صورت زیر به دست می‌آید.

$$\dot{q} = \frac{(f_b)_{b3} - (f_b)_{b1} + (f_{m8})_{b1} - (f_{m7})_{b3}}{2d} \quad (۱۶)$$

باید توجه کرد که شتابهای خطی  $(f_b)_{b3}$ ،  $(f_b)_{b1}$ ،  $(f_{m8})_{b1}$  و  $(f_{m7})_{b3}$  قبل از توسط ساختار ۶ تایی شتاب سنج‌ها به دست آورده شده‌اند؛ در نتیجه شتاب زاویه ای  $\dot{q}$  بر حسب خروجی شتاب سنج‌ها از رابطه (۱۷) محاسبه می‌شود.

$$\begin{aligned} \dot{q} = & \frac{-(f_{m1})_{b1} - (f_{m2})_{b1} + (f_{m5})_{b3}}{4d} \\ & + \frac{(f_{m6})_{b3} - 2(f_{m7})_{b3} + 2(f_{m8})_{b1}}{4d} \end{aligned} \quad (۱۷)$$

با انتگرالگیری از  $\dot{q}$  مقدار  $q$  مشخص می‌شود (هم از لحظه مقدار و هم از لحظه علامت) اما در قسمت قبل،  $q$  از لحظه مقدار محاسبه شد (رابطه (۱۴)) و تنها علامت دقیق آن نامشخص بود، علامت آن نیز از رابطه (۱۷) مشخص می‌شود. برای تعیین  $p$  نیز مطابق شکل ۷ دو شتاب سنج  $m_9$  و  $m_{10}$  در راستای محورهای  $b_2$  و  $b_3$  قرار داده می‌شوند.

دو شتاب سنج  $m_9$  و  $m_{10}$  شتاب نقطه  $b$  را در دو راستای  $b_3$  و  $b_2$  اندازه‌گیری می‌کنند (شکل ۷) که از رابطه (۱۸) به دست می‌آیند.

$$\begin{aligned} (f_b)_{b3} &= (f_{m9})_{b3} - dqr - dp \\ (f_b)_{b2} &= (f_{m10})_{b2} - dqr + dp \end{aligned} \quad (۱۸)$$

با استفاده از رابطه (۱۸) و مشابه با قسمت قبل، شتاب زاویه ای  $\dot{p}$  از رابطه (۱۹) به دست می‌آید.

مشخص نمود؛ به عنوان مثال برای  $\Delta^2 p$  (مریع خطای سرعت زاویه‌ای)  
پس از ساده سازی، رابطه (۲۳) به دست می‌آید.

$$\begin{aligned} (\Delta^2 p)_{bias} &= \frac{(\delta f_{bias})_1 - (-\delta f_{bias})_2 + (\delta f_{bias})_3}{4d} \\ &\quad + \frac{(\delta f_{bias})_4 - (-\delta f_{bias})_5 - (-\delta f_{bias})_6}{4d} \end{aligned} \quad (۲۳)$$

بافرض مشابه بودن شتاب سنجها از لحاظ میزان پایاس، خطای سرعتهای زاویه‌ای ( $\Delta r$ )<sub>bias</sub> و ( $\Delta q$ )<sub>bias</sub> ناشی از پایاس مطابق رابطه (۲۴) به دست می‌آید.

$$\begin{cases} (\Delta p)_{bias} = \pm \sqrt{1.5 \frac{\delta f_{bias}}{d}} \\ (\Delta q)_{bias} = \pm \sqrt{1.5 \frac{\delta f_{bias}}{d}} \\ (\Delta r)_{bias} = \pm \sqrt{1.5 \frac{\delta f_{bias}}{d}} \end{cases} \quad (۲۴)$$

نحوه تاثیر خطای سرعتهای زاویه‌ای نیز در ناوبری به این ترتیب است که ابتدا کواترینی‌ها دارای خطای شوند، خطای کواترینی‌ها ناشی از خطاهای سرعت زاویه‌ای ( $\Delta p$ )<sub>bias</sub> و ( $\Delta q$ )<sub>bias</sub> و ( $\Delta r$ )<sub>bias</sub> مطابق رابطه (۲۵) به دست می‌آید.

$$\begin{bmatrix} \Delta \dot{\varepsilon}_1 \\ \Delta \dot{\varepsilon}_2 \\ \Delta \dot{\varepsilon}_3 \\ \Delta \dot{\varepsilon}_4 \end{bmatrix} = \frac{1}{2} \begin{bmatrix} 0 & +(\Delta r)_{bias} & -(\Delta q)_{bias} & +(\Delta p)_{bias} \\ -(\Delta r)_{bias} & 0 & +(\Delta p)_{bias} & +(\Delta q)_{bias} \\ +(\Delta q)_{bias} & -(\Delta p)_{bias} & 0 & +(\Delta r)_{bias} \\ -(\Delta p)_{bias} & -(\Delta q)_{bias} & -(\Delta r)_{bias} & 0 \end{bmatrix} \begin{bmatrix} \Delta \varepsilon_1 \\ \Delta \varepsilon_2 \\ \Delta \varepsilon_3 \\ \Delta \varepsilon_4 \end{bmatrix} \quad (۲۵)$$

که در این رابطه، ( $\Delta p$ )<sub>bias</sub> و ( $\Delta q$ )<sub>bias</sub> و ( $\Delta r$ )<sub>bias</sub> از رابطه (۲۴) به دست می‌آید و  $\Delta \varepsilon_1, \Delta \varepsilon_2, \Delta \varepsilon_3, \Delta \varepsilon_4$  خطای کواترینی‌ها می‌باشد. خطای کواترینی‌ها باعث می‌شود که ماتریس دوران دارای خطا شده و در نتیجه شتاب منتقل شده به دستگاه مختصات اینرسی و در نتیجه سرعت و موقعیت وسیله با خطأ همراه خواهد شد.

## ۲-۵ ناهم محوری

فرض شود که محور حساسیت شتاب سنج دقیقاً در راستای محور شتاب سنج و محور  $\bar{b}_1$  وجود دارد؛ برای سادگی فرض می‌شود که مطابق شکل (۹) این بردار در صفحه  $b_1 b_3$  قرار گرفته است. قبل از آن‌که به تجزیه و تحلیل این ناهم محوری پرداخته شود، ذکر این نکته در رابطه با عملکرد شتاب سنج حائز اهمیت است که اگر شتاب سنجی در نقطه  $d$  قرار گرفته باشد آن‌چه شتاب سنج اندازه‌گیری می‌کند و نشان می‌دهد تصویر شتاب نقطه  $d$  در راستای محور حساسیتش است. از لحاظ ریاضی این تصویر، از حاصل ضرب داخلی بردار شتاب و بردار محور حساسیت شتاب سنج حاصل می‌شود.

$$\begin{aligned} (f_b)_{b1} &= \frac{(f_{m1})_{b1} + (f_{m2})_{b1}}{2} \\ (f_b)_{b2} &= \frac{(f_{m3})_{b2} + (f_{m4})_{b2}}{2} \\ (f_b)_{b3} &= \frac{(f_{m5})_{b3} + (f_{m6})_{b3}}{2} \\ p &= \pm \sqrt{\frac{+(f_{m1})_{b1} - (f_{m2})_{b1} - (f_{m3})_{b2} + (f_{m4})_{b2} - (f_{m5})_{b3} + (f_{m6})_{b3}}{4d}} \\ q &= \pm \sqrt{\frac{-(f_{m1})_{b1} + (f_{m2})_{b1} + (f_{m3})_{b2} - (f_{m4})_{b2} - (f_{m5})_{b3} + (f_{m6})_{b3}}{4d}} \\ r &= \pm \sqrt{\frac{-(f_{m1})_{b1} + (f_{m2})_{b1} - (f_{m3})_{b2} + (f_{m4})_{b2} + (f_{m5})_{b3} - (f_{m6})_{b3}}{4d}} \\ \dot{q} &= \frac{-(f_{m1})_{b1} - (f_{m2})_{b1} + (f_{m5})_{b3} + (f_{m6})_{b3} - 2(f_{m7})_{b3} + 2(f_{m8})_{b1}}{4d} \end{aligned} \quad (۲۰)$$

## ۱-۱ مدلسازی خطاهای شتاب سنج‌ها و تاثیر آنها در ناوبری

خطاهایی که در این مقاله، مدلسازی آنها ارایه می‌شود، عبارتنداز:

- 1- بایاس شتاب سنجها
- 2- ناهم محوری محور حساسیت شتاب سنجها.

ابتدا بایاس شتاب سنج بررسی می‌شود؛ با فرض این که شتاب سنج دارای خطای بایاس  $\delta f_{bias}$  است، خطای سرعت  $\delta V$  و خطای موقعیت  $\delta P$  در مدت زمان  $t$  با سرعت اولیه و مکان اولیه صفر، از رابطه (۲۱) به دست می‌آید.

$$\begin{aligned} \delta V &= \delta f_{bias} \times t \\ \delta P &= \frac{1}{2} \delta f_{bias} \times t^2 \end{aligned} \quad (۲۱)$$

در این قسمت ساختار ۱۰ تایی از شتاب سنج‌هایی با وجود خطای بایاس بررسی می‌شود. هدف به دست آوردن خطاهای موجود در شتاب-های خطی و سرعتهای زاویه‌ای وسیله ناشی از بایاس شتاب سنج‌ها می‌باشد. فرض که شتاب سنجها، دارای بایاس  $(\delta f_{bias})_k$  باشند ( $k$  شماره شتاب سنج است). در این صورت خطای شتاب خطی جسم، ناشی از بایاس شتاب سنج مطابق رابطه (۲۲) خواهد بود.

$$\begin{cases} ((\Delta f_b)_{b1})_{bias} = \frac{(\delta f_{bias})_1 + (\delta f_{bias})_2}{2} \\ ((\Delta f_b)_{b2})_{bias} = \frac{(\delta f_{bias})_3 + (\delta f_{bias})_4}{2} \\ ((\Delta f_b)_{b3})_{bias} = \frac{(\delta f_{bias})_5 + (\delta f_{bias})_6}{2} \end{cases} \quad (۲۲)$$

برای سادگی اگر فرض شود شتاب سنجها دارای بایاس بکسان  $\delta f_{bias}$  باشند آنگاه ثابت می‌شود که خطای شتاب وسیله در سه راستای محورها دستگاه بدنی برابر با  $(\Delta f_b)_{b1}$  و  $(\Delta f_b)_{b2}$  و  $(\Delta f_b)_{b3}$  خواهد بود. این میزان خطای پس از انتقال از دستگاه بدنی به دستگاه اینرسی توسط ماتریس دوران، باعث ایجاد خطای در سرعت و موقعیت وسیله خواهد شد. برای بررسی تاثیر خطاهای بایاس شتاب سنج‌ها در سرعتهای زاویه‌ای ابتدا مریع خطای سرعت زاویه‌ای به دست آورده می‌شود و سپس در بدترین حالت، خطاهای سرعت زاویه‌ای ناشی از بایاس را می‌توان

شتاب نقطه  $b$  در راستای محور  $\bar{b}_1$  برابر با میانگین سیگنالهای خروجی شتابسنجهای ۱ و ۲ می باشد که از رابطه (۲۹) به دست می آید.

$$(f_b)_{b1 \text{ missalignment}} = \frac{(f_d)_{\theta_1} + (f_d)_{\theta_2}}{2} \quad (29)$$

به این ترتیب خطای شتاب نقطه  $b$  در راستای  $\bar{b}_1$  ناشی از ناهم محوری شتابسنج ها به صورت رابطه (۳۰) محاسبه می شود.

$$\begin{aligned} (\Delta f_b)_{b1 \text{ missalignment}} &= (f_b)_{b1 \text{ missalignment}} - (f_b)_{b1 \text{ no missalignment}} \\ &= \frac{(f_d)_{b1\theta_1} + (f_d)_{b1\theta_2}}{2} - \frac{(f_d)_{b1} + (f_d)_{b1}}{2} \\ &= \frac{(\cos \theta_1 + \cos \theta_2)(f_b)_{b1} + (\sin \theta_1 + \sin \theta_2)(f_b)_{b3} + (\sin \theta_1 - \sin \theta_2)(dpr - d\dot{q})}{2} \end{aligned} \quad (30)$$

در رابطه (۳۰)  $(\Delta f_b)_{b1 \text{ missalignment}}$  خطای شتاب نقطه  $b$  در راستای محور  $b1$  با وجود ناهم محوری،  $(f_b)_{b1 \text{ missalignment}}$  شتاب نقطه  $b$  در راستای محور  $b1$  با وجود ناهم محوری،  $(f_b)_{b1 \text{ no missalignment}}$  شتاب نقطه  $b$  در راستای محور  $b1$  بدون ناهم محوری شتابسنجها می باشند. مشابه این روابط برای جفت شتابسنج های واقع بر محور  $b2$  و  $b3$  نیز می توان به دست آورد. فرض شود محورهای حساسیت دو شتابسنج واقع بر محور  $b2$  به اندازه  $\theta_3$ ،  $\theta_4$  (واقع در صفحه  $b_2 b_3$ ) نسبت به محور  $b2$  دارای انحراف باشند، در این صورت خروجی این دو شتابسنج به صورت روابط (۳۱) و (۳۲) خواهد بود.

خروجی شتابسنج سوم با وجود ناهم محوری در محور حساسیت آن:

$$\begin{aligned} (\vec{f}_d)_{b_3} &= \begin{bmatrix} (f_b)_{b_1} + dqp - dr \\ (f_b)_{b_2} - d(p^2 + r^2) \\ (f_b)_{b_3} + dpr + dp \end{bmatrix}^T \begin{bmatrix} 0 \\ \cos \theta_3 \\ \sin \theta_3 \end{bmatrix} \\ &= \cos \theta_3 ((f_b)_{b_2} - d(p^2 + r^2)) + \sin \theta_3 ((f_b)_{b_3} + dpr + dp) \end{aligned} \quad (31)$$

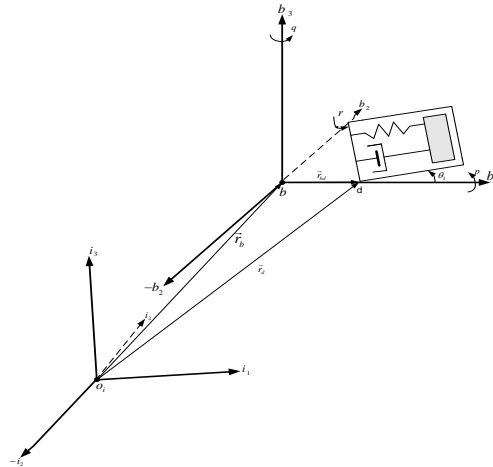
خروجی شتابسنج چهارم با وجود ناهم محوری در محور حساسیت آن:

$$\begin{aligned} (\vec{f}_d)_{\theta_4} &= \begin{bmatrix} (f_b)_{b_1} - dqp + d\dot{r} \\ (f_b)_{b_2} + d(p^2 + r^2) \\ (f_b)_{b_3} - dpr - dp \end{bmatrix}^T \begin{bmatrix} 0 \\ \cos \theta_3 \\ \sin \theta_3 \end{bmatrix} \\ &= \cos \theta_4 ((f_b)_{b_2} + d(p^2 + r^2)) + \sin \theta_4 ((f_b)_{b_3} - dpr - dp) \end{aligned} \quad (32)$$

شتاب نقطه  $b$  در راستای محور  $\bar{b}_2$  با وجود ناهم محوری

خروجی شتاب نقطه  $b$  در راستای محور  $\bar{b}_2$  مطابق رابطه (۳۳) به دست می آید.

$$(f_b)_{b2 \text{ missalignment}} = \frac{(f_d)_{\theta_3} + (f_d)_{\theta_4}}{2} \quad (33)$$



شکل ۹: شتابسنج در دستگاه بدنی و دستگاه اینرسی همراه با ناهم محوری بردار شتاب نقطه  $d$  ( $\vec{f}_d$ ) و بردار محور حساسیت شتاب-سنج ( $S\vec{\theta}_i$ ) برای شتابسنج شکل (۴) مطابق رابطه (۲۶) قابل بیان است.

$$\begin{aligned} (\vec{f}_d) &= \begin{bmatrix} (f_d)_{b1} \\ (f_d)_{b2} \\ (f_d)_{b3} \end{bmatrix} = \begin{bmatrix} (f_b)_{b1} - d(q^2 + r^2) \\ (f_b)_{b2} + dqp + dr \\ (f_b)_{b3} + dpr - d\dot{q} \end{bmatrix} \\ \vec{S}\vec{\theta}_i &= \begin{bmatrix} \cos \theta_1 \\ 0 \\ \sin \theta_1 \end{bmatrix} \end{aligned} \quad (26)$$

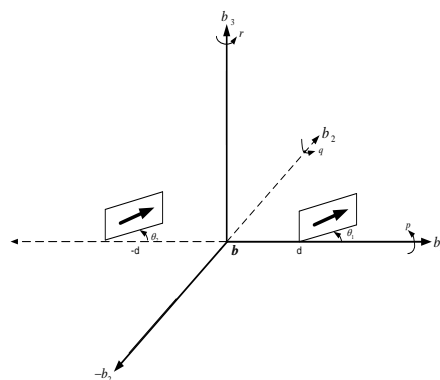
در نتیجه سیگнал خروجی شتابسنج ( $\vec{f}_d$ ) از رابطه (۲۷) به دست می آید.

$$\begin{aligned} (\vec{f}_d)_{\theta_i} &= (\vec{f}_d)^T \bullet \vec{S}\vec{\theta}_i \\ &= \cos \theta_1 ((f_b)_{b1} - d(q^2 + r^2)) + \sin \theta_1 ((f_b)_{b3} + dpr - d\dot{q}) \end{aligned} \quad (27)$$

برای شتابسنجی که در فاصله  $d$  از نقطه  $b$  با ناهم محوری  $\bar{b}_2$  (در صفحه  $b_1 b_3$ ) قرار گرفته است عملیات فوق تکرار می شود، سیگنال خروجی شتابسنج دوم (۲۸) به صورت رابطه (۲۸) خواهد بود.

$$\begin{aligned} (\vec{f}_d)_{\theta_2} &= (\vec{f}_{-d})^T \bullet \vec{S}\vec{\theta}_2 \\ &= \cos \theta_1 ((f_b)_{b1} + d(q^2 + r^2)) + \sin \theta_1 ((f_b)_{b3} - dpr + d\dot{q}) \end{aligned} \quad (28)$$

دو شتابسنج واقع بر محور  $\bar{b}_1$  با وجود ناهم محوری در محور حساسیت آنها در شکل (۱۰) نشان داده شده اند.



شکل ۱۰: شتابسنج های واقع بر محور  $\bar{b}_1$  همراه با ناهم محوری

$$\left\{ \begin{array}{l} (\Delta f_b)_{b1 \text{ missalignment}} = \frac{(\cos \theta_1 + \cos \theta_2 - 2)(f_b)_{b1} + (\sin \theta_1 + \sin \theta_2)(f_b)_{b3}}{2} \\ \quad + \frac{(\sin \theta_1 - \sin \theta_2)(dpr - d\dot{q})}{2} \\ (\Delta f_b)_{b2 \text{ missalignment}} = \frac{(\cos \theta_3 + \cos \theta_4 - 2)(f_b)_{b2} + (\sin \theta_3 + \sin \theta_4)(f_b)_{b3}}{2} \\ \quad + \frac{(\sin \theta_3 - \sin \theta_4)(dpr - d\dot{p})}{2} \\ (\Delta f_b)_{b3 \text{ missalignment}} = \frac{(\cos \theta_5 + \cos \theta_6 - 2)(f_b)_{b3} + (\sin \theta_5 + \sin \theta_6)(f_b)_{b1}}{2} \\ \quad + \frac{(\sin \theta_5 - \sin \theta_6)(dpr + d\dot{q})}{2} \end{array} \right. \quad (39)$$

این ناهم محوریها موجب می‌شوند که خطای در خروجی‌های شتاب-سنج‌ها به وجود آید که باعث خطا در سرعت و موقعیت وسیله خواهد شد. در ادامه به تاثیر خطای ناهم محوری شتاب سنجها در سرعت‌های زاویه‌ای وسیله پرداخته می‌شود. ساختار ۱۰ تابی از شتاب سنجها که در قسمت قبل بیان شد، سرعت‌های زاویه‌ای وسیله را به کمک روابط (۴۰) نتیجه می‌دهد.

$$\begin{aligned} p_{no \text{ misalignment}} &= \pm \sqrt{\frac{+(f_m)_b1 - (f_m)_b1 - (f_m)_b2 + (f_m)_b2 - (f_m)_b3 + (f_m)_b3}{4d}} \\ q_{no \text{ misalignment}} &= \pm \sqrt{\frac{-(f_m)_b1 + (f_m)_b1 + (f_m)_b2 - (f_m)_b2 - (f_m)_b3 + (f_m)_b3}{4d}} \\ r_{no \text{ misalignment}} &= \pm \sqrt{\frac{-(f_m)_b1 + (f_m)_b1 - (f_m)_b2 + (f_m)_b2 + (f_m)_b3 - (f_m)_b3}{4d}} \end{aligned} \quad (40)$$

رابطه (۴۰) با این فرض به دست آمده است که محورهای حساسیت شتاب سنج‌ها، دقیقاً در راستای محورهای دستگاه بدنی باشند. فرض شود شتاب سنج‌های  $m_1, m_2, \dots, m_6$  دارای ناهم محوری به میزان  $\theta_1, \theta_2, \dots, \theta_6$  باشند که در قسمت قبل این زاویه‌ها معرفی شدند. سرعت‌های زاویه‌ای وسیله با وجود ناهم محوری در شتاب سنجها محاسبه است. (۴۱) از رابطه  $(p_{misalignment}, q_{misalignment}, r_{misalignment})$  از رابطه (۴۱) قابل محاسبه است.

$$\begin{aligned} p_{misalignment} &= \pm \sqrt{\frac{+(f_d)_{\theta1} - (f_d)_{\theta2} - (f_d)_{\theta3} + (f_d)_{\theta4} - (f_d)_{\theta5} + (f_d)_{\theta6}}{4d}} \\ q_{misalignment} &= \pm \sqrt{\frac{-(f_d)_{\theta1} + (f_d)_{\theta2} + (f_d)_{\theta3} - (f_d)_{\theta4} - (f_d)_{\theta5} + (f_d)_{\theta6}}{4d}} \\ r_{misalignment} &= \pm \sqrt{\frac{-(f_d)_{\theta1} + (f_d)_{\theta2} - (f_d)_{\theta3} + (f_d)_{\theta4} + (f_d)_{\theta5} - (f_d)_{\theta6}}{4d}} \end{aligned} \quad (41)$$

در رابطه (۴۱) پارامترهای  $(f_d)_{\theta1}, (f_d)_{\theta2}, \dots, (f_d)_{\theta6}$  معرف شتاب سنج‌ها با وجود ناهم محوری در آنها می‌باشند. خطای سرعت‌های زاویه‌ای ناشی از ناهم محوری شتاب سنجها با محورهای دستگاه بدنی از رابطه (۴۲) به دست می‌آید.

$$\begin{aligned} (\Delta p)_{misalignment} &= p_{misalignment} - p_{no \text{ misalignment}} \\ (\Delta q)_{misalignment} &= q_{misalignment} - q_{no \text{ misalignment}} \\ (\Delta r)_{misalignment} &= r_{misalignment} - r_{no \text{ misalignment}} \end{aligned} \quad (42)$$

در نتیجه خطای شتاب نقطه  $b$  در راستای محور  $\vec{b}_2$  با وجود ناهم محوری  $(\Delta f_b)_{b2 \text{ missalignment}}$  (۳۴) خواهد بود.

$$\begin{aligned} (\Delta f_b)_{b2 \text{ missalignment}} &= (f_b)_{b2 \text{ missalignment}} - (f_b)_{b2 \text{ no missalignment}} \\ &= \frac{(f_d)_{b2\theta_1} + (f_{-d})_{b2\theta_1}}{2} - \frac{(f_d)_{b2} + (f_{-d})_{b2}}{2} \\ &= \frac{(\cos \theta_3 + \cos \theta_4 - 2)(f_b)_{b2} + (\sin \theta_3 + \sin \theta_4)(f_b)_{b3}}{2} + \frac{(\sin \theta_3 - \sin \theta_4)(dpr - d\dot{p})}{2} \end{aligned} \quad (34)$$

فرض اینکه محورهای حساسیت دو شتاب سنج واقع بر محور  $b3$  به اندازه  $\theta_6, \theta_5$  واقع در صفحه  $b1b3$  نسبت به محور  $b3$  دارای انحراف باشند، در این صورت خروجی این دو شتاب سنج با وجود ناهم محوری در آنها از روابط (۳۵) و (۳۶) به دست می‌آید. خروجی شتاب سنج پنجم با وجود ناهم محوری در محور حساسیت آن:

$$\begin{aligned} (\vec{f}_d)_{\theta_5} &= \begin{bmatrix} (f_b)_{b1} + dpr + d\dot{q} \\ (f_b)_{b2} \\ (f_b)_{b3} - d(p^2 + q^2) \end{bmatrix}^T \begin{bmatrix} \sin \theta_5 \\ 0 \\ \cos \theta_5 \end{bmatrix} \\ &= \cos \theta_5 ((f_b)_{b3} - d(p^2 + q^2)) + \sin \theta_5 ((f_b)_{b1} + dpr + d\dot{q}) \end{aligned} \quad (35)$$

خروچی شتاب سنج ششم با وجود ناهم محوری در محور حساسیت آن:

$$\begin{aligned} (\vec{f}_{-d})_{\theta_6} &= \begin{bmatrix} (f_b)_{b1} - dpr - d\dot{q} \\ (f_b)_{b2} \\ (f_b)_{b3} + d(p^2 + q^2) \end{bmatrix}^T \begin{bmatrix} \sin \theta_6 \\ 0 \\ \cos \theta_6 \end{bmatrix} \\ &= \cos \theta_6 ((f_b)_{b3} + d(p^2 + q^2)) + \sin \theta_6 ((f_b)_{b1} - dpr - d\dot{q}) \end{aligned} \quad (36)$$

در این صورت شتاب نقطه  $b$  در راستای محور  $\vec{b}_3$  برابر با میانگین این دو سیگنال خواهد بود.

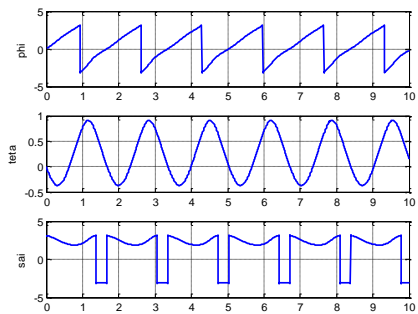
$$(f_b)_{b3 \text{ missalignment}} = \frac{(f_d)_{\theta_5} + (f_{-d})_{\theta_6}}{2} \quad (37)$$

در نتیجه خطای شتاب نقطه  $b$  در راستای محور  $\vec{b}_3$  ناشی از ناهم محوری  $(\Delta f_b)_{b3 \text{ missalignment}}$  (۳۸) مطابق رابطه (۳۸) به دست می‌آید.

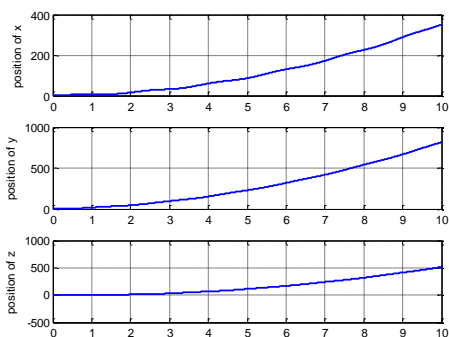
$$\begin{aligned} (\Delta f_b)_{b3 \text{ missalignment}} &= (f_b)_{b3 \text{ missalignment}} - (f_b)_{b3 \text{ no missalignment}} \\ &= \frac{(f_d)_{b3\theta_5} + (f_{-d})_{b3\theta_6}}{2} - \frac{(f_d)_{b3} + (f_{-d})_{b3}}{2} \\ &= \frac{(\cos \theta_5 + \cos \theta_6 - 2)(f_b)_{b3} + (\sin \theta_5 + \sin \theta_6)(f_b)_{b1}}{2} + \frac{(\sin \theta_5 - \sin \theta_6)(dpr + d\dot{q})}{2} \end{aligned} \quad (38)$$

خطاهای شتاب نقطه  $b$  در سه راستای محورهای دستگاه بدنی ناشی از ناهم محوری شتاب سنج‌ها در رابطه (۳۹) آمده است.

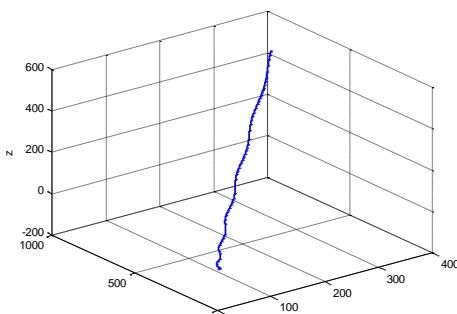
شبیه سازی به کمک نرم افزار matlab/simulink خطای موقعیت وسیله پس از ۱۰ ثانیه ناوبری نیز به صورت شکل ۱۴ است.



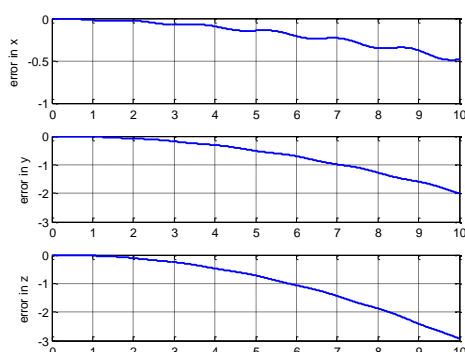
شکل ۱۱: زوایای اویلر با استفاده از شبیه سازی



شکل ۱۲: موقعیت جسم در راستای هر محور دستگاه مختصات اینرسی



شکل ۱۳: مسیر حرکت جسم در دستگاه مختصات اینرسی



شکل ۱۴: خطای موقعیت در دستگاه مختصات اینرسی ناشی از بایاس و ناهم محوری

در رابطه (۴۲)،  $(\Delta p)_{misalignmatt}$  و  $(\Delta q)_{misalignmatt}$  در رابطه (۴۲)، خطای سرعت های زاویه ای ناشی از ناهم محوری شتاب سنجها می باشد. این خطاهای ضمن تاثیرگذاری بر روی مقدار کواترنین ها و ماتریس دوران، در نهایت باعث ایجاد خطای سرعت و موقعیت وسیله خواهند شد. به این ترتیب خطاهای ناشی از بایاس شتاب سنجها و ناهم محوری محور حساسیت شتاب سنجها، مدل سازی شده و میزان تاثیر این خطاهای در شتابهای خطی و سرعتهای زاویه ای وسیله ای به دست آورده شدند.

## ۶- شبیه سازی و نتایج

در این قسمت یک حرکت کلی را مورد بررسی می شود، اگر حرکت وسیله در دستگاه بدنی دارای شتاب خطی  ${}^b\vec{a}(t) = [a_x(t), a_y(t), a_z(t)]^T$  و سرعت زاویه ای  ${}^b\vec{\omega}_{ib} = [p(t), q(t), r(t)]^T$  باشد، در این صورت برای بدست آوردن کواترنین ها باید معادلات دیفرانسیلی در رابطه (۴۳) را حل کرد که در حالت کلی، شکل بسته ای نمی توان بدست آورد و لازم است به صورت عددی حل شوند و سپس ماتریس دوران از رابطه (۴۴) محاسبه می شوند.

$$\begin{bmatrix} \dot{P}_1 \\ \dot{P}_2 \\ \dot{P}_3 \\ \dot{P}_4 \end{bmatrix} = \frac{1}{2} \begin{bmatrix} 0 & +r & -q & +p \\ -r & 0 & +p & +q \\ +q & -p & 0 & +r \\ -p & -q & -r & 0 \end{bmatrix} \begin{bmatrix} P_1 \\ P_2 \\ P_3 \\ P_4 \end{bmatrix}, P_j = 2\varepsilon_j, j=1,2,3,4$$
(۴۳)

$${}^bC_{\varepsilon} = \begin{bmatrix} 1-2(\varepsilon_2^2 + \varepsilon_3^2) & 2(\varepsilon_1\varepsilon_2 - \varepsilon_3\varepsilon_4) & 2(\varepsilon_1\varepsilon_3 + \varepsilon_2\varepsilon_4) \\ 2(\varepsilon_1\varepsilon_2 + \varepsilon_3\varepsilon_4) & 1-2(\varepsilon_1^2 + \varepsilon_3^2) & 2(\varepsilon_2\varepsilon_3 - \varepsilon_1\varepsilon_4) \\ 2(\varepsilon_1\varepsilon_3 - \varepsilon_2\varepsilon_4) & 2(\varepsilon_2\varepsilon_3 + \varepsilon_1\varepsilon_4) & 1-2(\varepsilon_1^2 + \varepsilon_2^2) \end{bmatrix}$$
(۴۴)

در رابطه (۴۳)،  $\varepsilon_1, \varepsilon_2, \varepsilon_3, \varepsilon_4$  معرف کواترنینها می باشد و در رابطه (۴۴)،  ${}^bC_{\varepsilon}$  بیانگر ماتریس دوران از دستگاه بدنی به دستگاه اینرسی می باشد. فرض شود اندازه گیری های زیر توسط ساختار شتاب سنجها در دستگاه بدنی به صورت زیر انجام شده است.

$${}^b\vec{a}(t) = [50, 10, 10]^T \left( \frac{m}{s^2} \right), {}^b\vec{\omega}_{ib} = [1, 2, 3]^T \left( \frac{rad}{s} \right)$$

نمودار مربوط به زوایای اویلر و کواترنین های مربوط به این ستاریوی حرکتی پس مدت ۱۰ ثانیه شبیه سازی، به صورت شکل های (۱۱) و (۱۲) خواهد بود. موقعیت وسیله در راستای محورهای دستگاه اینرسی و مسیر حرکت آن در این دستگاه در شکل های ۱۲ و ۱۳ آمده است. اگر شتاب سنجها دارای بایاس به اندازه  $\frac{m}{s^2}$  و ناهم محوری به اندازه حداقل ۰.۱ درجه باشند خطاهای موقعیت وسیله در راستای محورهای X و Y و Z با استفاده از روابط خطاهای شتابهای خطی و سرعتهای زاویه ای به ترتیب ۴۵.۰ و -۲۰.۴ و -۲.۹۸ خواهد بود. پس از

۱: زمان  
 $(\delta f_{bias})_k$ : بایاس شتاب سنج  $k$ ام،  $(\Delta f_b)_{bj}$ : خطای مولفه  $b$ ام شتاب نقطه  $b$  ناشی از بایاس شتاب سنج  
 $(\Delta p)_{bias}, (\Delta q)_{bias}, (\Delta r)_{bias}$ : خطای سرعتهای زاویه ای وسیله ناشی از بایاس شتاب سنج  
 $\Delta \varepsilon_i$ : خطای کواترنینها،  $S\vec{\theta}_k$ : بردار محور حساسیت شتاب سنج  $k$ ام  
 $(f_b)_{bj missalignment}$ : مولفه  $b$ ام شتاب نقطه  $b$  با وجود ناهم محوری شتاب سنج  
 $(f_d)_{\theta_k}$ : خروجی شتاب سنج  $k$ ام با وجود ناهم محوری  $\theta_k$  در محور حساسیت آن،  $(\Delta r)_{misalignment}$ : خطای مولفه  $b$ ام شتاب نقطه  $b$  ناشی از ناهم محوری وسیله در دستگاه مختصات بدنی بدون ناهم محوری شتاب سنجها  
 $p_{no misalignment}, q_{no misalignment}, r_{no misalignment}$ : سرعت زاویه ای وسیله در دستگاه مختصات بدنی با ناهم محوری شتاب سنجها  
 $(\Delta p)_{misalignment}, (\Delta q)_{misalignment}, (\Delta r)_{misalignment}$ : سرعت زاویه ای وسیله در دستگاه مختصات بدنی ناشی از ناهم محوری شتاب سنجها  
 $i^i C_b$ : ماتریس دوران از دستگاه مختصات بدنی به دستگاه مختصات اینرسی بیان شده بر حسب کواترنینها

با توجه به شکل ۱۴ مشاهده می شود که خطای موقعیت پس از ۱۰ ثانیه ناوبری در راستای محورهای  $X$  و  $Z$  به ترتیب به اندازه  $-0.5$  و  $-3$  خواهد بود که بسیار به مقادیری که مستقیماً از روابط شتابهای خطی و سرعتهای زاویه ای به دست آمده اند، نزدیک می باشد.

## ۷- نتیجه گیری

در این مقاله ابتدا یک ساختار ۱۰ تایی از شتاب سنجها ارایه شد که قادر به اندازه گیری شتابهای خطی و سرعتهای زاویه ای وسیله است. بایاس و ناهم محوری شتاب سنجها که از مهمترین خطاهای شتاب سنجهاست در این مقاله مدلسازی شده و تاثیر آنها در ناوبری مورد آنالیز موردن بررسی قرار گرفت. در پایان مقاله با ارایه یک مثال، نتایج شبیه سازی ارایه شد. نتایج شبیه سازی گویای این موضوع است که این ساختار از دقت تقریباً مطلوبی برای ناوبریهای کوتاه مدت برخوردار است.

## ۸- فهرست علایم و متغیرها

$\vec{\omega}_{ib}$ : سرعت زاویه ای دستگاه مختصات بدنی نسبت به دستگاه مختصات اینرسی  
 $\vec{f}_b$ : شتاب نقطه  $b$  در دستگاه بدنی  
 $\vec{f}_m$ : شتاب جرم آزمون در دستگاه بدنی  
 $C_b^i$ : ماتریس تبدیل از دستگاه مختصات اینرسی به دستگاه مختصات بدنی  
 $\vec{r}_m^i$ : بردار مکان جرم آزمون شتاب سنج، بیان شده در دستگاه اینرسی  
 $\vec{r}_b^i$ : بردار مکان نقطه  $b$  بیان شده در دستگاه اینرسی  
 $\vec{r}_{bc}^i$ : بردار مکان از نقطه  $b$  تا نقطه  $c$  (نقطه ای از بدنی)، بیان شده در دستگاه اینرسی  
 $\vec{r}_{cm}^i$ : بردار مکان بدنی شتاب سنج و جرم آزمون، بیان شده در دستگاه اینرسی  
 $(f_b)_{bj}$ : مولفه  $b$ ام شتاب خطی نقطه  $b$  در راستای محور  $b$ ام دستگاه بدنی،  $(j=1,2,3)$   
 $(f_m)_{bj}$ : مولفه  $b$ ام شتاب خطی مرکز جرم شتاب سنج در راستای محور  $b$ ام دستگاه بدنی،  $(j=1,2,3)$   
 $p$ : سرعت زاویه ای وسیله حول محور اول دستگاه مختصات بدنی  
 $q$ : سرعت زاویه ای وسیله حول محور دوم دستگاه مختصات بدنی  
 $r$ : سرعت زاویه ای وسیله حول محور سوم دستگاه مختصات بدنی  
 $(f_{mn})_{bj}$ : مولفه  $b$ ام شتاب خطی وسیله، اندازه گیری شده توسط شتاب سنج  $m$ ام،  $j=1,2,3,4,5,6,7,8,9,10$   
 $d$ : فاصله شتاب سنج تا مرکز جرم وسیله  
 $\delta f_{bias}$ : بایاس شتاب سنج  
 $\delta P$ : خطای موقعیت وسیله

## مراجع

- [1] Titterton, D.H. Strapdown inertial navigation technology (2nd Edition), Institution of Engineering and Technology, 2004.
- [2] L.D. DiNapoli, "The Measurement of Angular Velocities without the Use of Gyros," hiladelphia: The Moore School of Electrical Engineering University of Pennsylvania, pp. 34-41,1965.
- [3] Alfred R. Schuler, "Measuring Rotational Motion with Linear Accelerometers," IEEE Trans. on AES, 1967,vol.3, no. 3, pp. 465-472.
- [4] Chin-Woo Tan, Kirill Mostov, Pravin Varaiya, "Feasibility of a Gyroscope-free Inertial Navigation System for Tracking Rigid Body Motion", Department of Electrical Engineering and Computer SciencesUniversity of California, Berkeley, May 2000.
- [5] Qi Wang, Mingli Ding and Peng Zhao, "A New Scheme of Non – Gyro Inertial Measurement Unit for Estimation Angular Velocity" 2003 IEEE.
- [6] Akeila, E., Salcic, Z., Swain, A., "Implementation, calibration and testing of GFINS models based on six-accelerometer cube", Proc. of TENCON 2008.